

Novi podaci o vulkanskim stijenama Ivanščice (sliv potoka Železnice)

Vera MARCI¹, Stjepan ŠCAVNIČAR¹ i Galiba SIJARIĆ²

¹*Mineraloško-petrografska zavod, Demetrova 1, Zagreb*
²*Prerodno-matematički fakultet, Vojvode Putnika 43, Sarajevo*

Ovo je prikaz rezultata istraživanja metamorfnih parageneza vulkanskih stijena iz Šumi potoka, na sjevernom dijelu Ivanščice, koji su jednim dijelom izneseni na X Kongresu geologa Jugoslavije u Budvi 1982. g., a sada nadopunjeni ovim radom.

UVOD

Prvi podaci o istraživanjima vulkanita Ivanščice, koja se obavljaju u okviru Projekta 14 ugovorenog sa SIZ-III za znanstvena istraživanja u Zagrebu, objavljeni su u Zborniku radova X Jubilarnog kongresa geologa Jugoslavije 1982. g. u Budvi (Marci V., Šcavničar S., Sijarić G. 1982). Istraživanja ovih stijena započela su 1981., pa su za Zbornik poslani tek prvi preliminarni rezultati. U nastavku istraživanja sakupljeni su dodatni podaci o sastavu plagioklasa, koji su izneseni na Kongresu usmeno, a detaljnije će biti iznijeti u ovom radu. Istraživanja još su uvek u toku, posebno piroklastita, pa će ovaj rad dati samo podatke koji se odnose na stijene svrstane u lave iz profila Šumi potoka.

STRUKTURNNE KARAKTERISTIKE I MINERALNI SASTAV LAVA

Strukture stijena već su opisane (Marci V., Šcavničar S., Sijarić G. (1982) pa se ovdje prilaže snimke najtipičnijih predstavnika (slike 1, 2 i 3, tabla I). To su holokristaline, a vrlo rijetko apohipohijaline strukture sa brojnim nepravilnim šuljinama ameboidalna ili okrugla oblika. Osnova stijene sadrži pravilne štapiće plagioklasa, opake minerale, klorit i produkte alteracije. Kvantitativni omjer ovih minerala varira u širokim razmjerima pa u nekim uzorcima više od 50% otpada na opake minerale među kojima je najobilniji hematit. Separacijom sa teškim tekućinama i na magnetnom separatoru (tip Frantz isodynamic) jednog jako hematitiziranog uzorka lave izdvojena je i analizirana magnetna frakcija na sadržaj Fe_2O_3 , FeO i TiO₂ pa su dobijeni slijedeći podaci:

	tež %	at %	%	
Fe ₂ O ₃	43,28	80	80	hm
FeO	4,24	9	18	il
TiO ₂	4,60	9		

Ovi podaci pokazuju da je mineralni sastojak magnetne frakcije prvenstveno hematit, a da oko 1/5 opakih minerala otpada na ilmenit. Jasno da u raznim varijetetima odnos opakih i ostalih minerala varira. Posve hematitizirani uzorci lava imaju sideronitnu strukturu koja se sastoji gotovo od samih opakih minerala (slika 3, tabla I).

Plagioklasi u osnovi lava, više su ili manje obilno zastupani, razvili su se češće kao štapići samci a rjeđe kao dvojci, pa se kao takovi teško određuju optičkim metodama. U nekim uzorcima određivan je sastav metodom simetrijskog potamnjena, ali su podaci varirali od 11 do 16 % an.

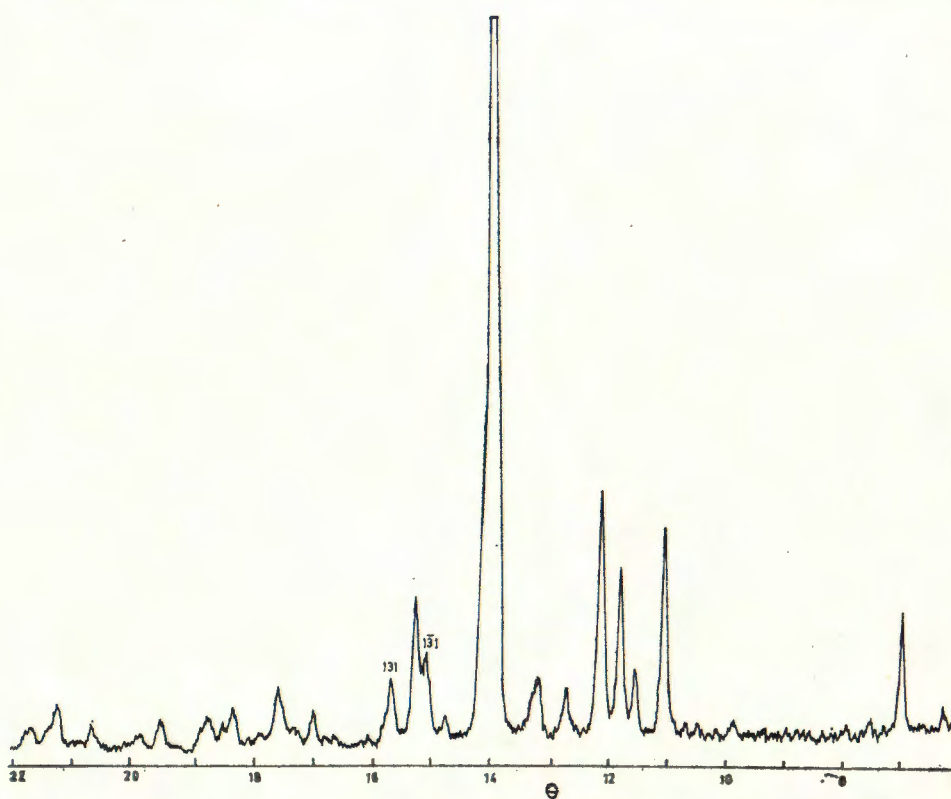
Mnogo detaljnije određivani su plagioklasi utrusci. Optičkim metodama na teodolitnom mikroskopu nisu dobiveni jednoznačni rezultati, jer su se podaci grupirali između 3—8 % an i 29—38 % an. Prvi rentgenogrami praha snimljeni na bazi nesepariranih uzoraka nisu se mogli dobro interpretirati zbog superpozicije refleksa. Normativni plagioklasi, mada to nije siguran podatak, izračunati su kao andezini, pa su i stijene u prvoj klasifikaciji svrstane u andezite. Međutim neusklađenost i nedorečenost podataka tražila je dodatna istraživanja plagioklasa, pa su glinenci separirani pod lupom i odvojeno istraženi rentgenskim difraktometrom (Philipsov uređaj PW 1730 sa širokokutnim goniometrom i grafitnim monohromatorom), IR spektrometrom (Perkin Elmer 397 uz KBr pastilu). Tabela I sadrži podatke za međumrežne razmake i intenzitete rentgenskih refleksa snimljenog plagioklaza (uzorak 1a). Dobivene vrijednosti jednoznačno ukazuju na albit; to dokumentira i priloženi karakteristični dio iz difraktograma (slika 1) i numeričke vrijednosti u tabeli 1.

Tabela 1. Podaci iz rentgenograma albita (uzorak 1a)

Table 1. X-ray powder data of albite (sample 1a)

d (Å)	I (rel)	d (Å)	I (rel)
6.353	40	2.8488*	21
4.015	70	2.6367	10
3.847	20	2.5481	17
3.763	55	2.4461	13
3.663	80	2.4219	9
3.493	15	2.3958	11
3.363	19	2.3128	10
3.184	345	2.1849	7
2.9592*	29	2.1260	14
2.9214	49	2.0831	7

Iz razlike dvostrukog Braggovog kuta za refleksu označene zvjezdicama, tj. iz $2\Theta_{131} - 2\Theta_{131} = 1,200^\circ$ (za CuK_α zračenje) slijedi da albit ima niskotemperaturnu varijantu strukture; za čist albit dobiva se oko 87% niskotemperaturne prirode, a albit sa nekim 7% an pao bi točno



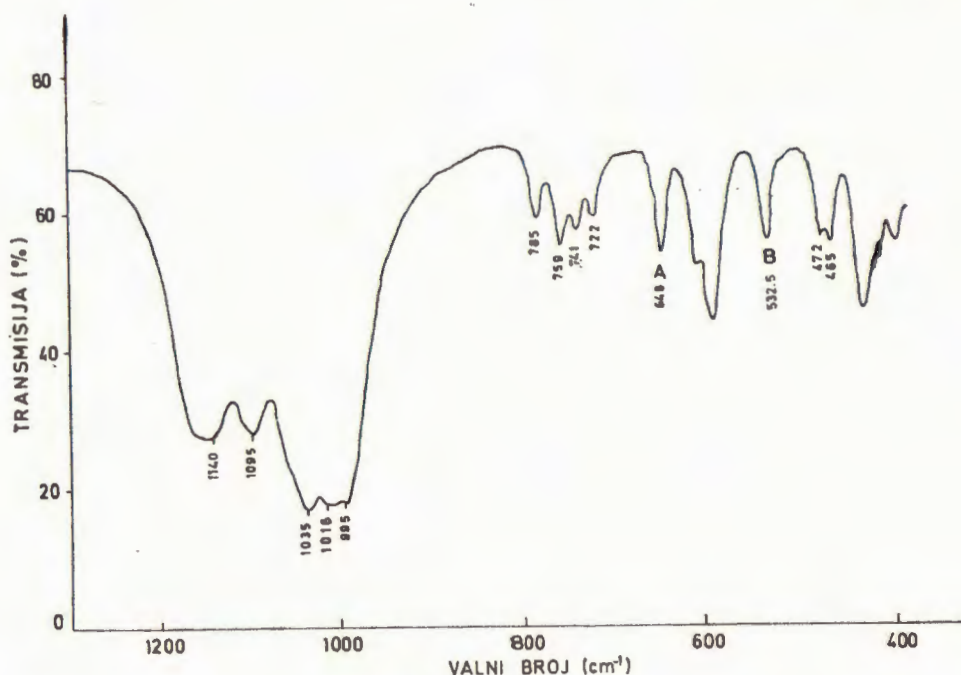
Slika 1. Difraktogram praha albita
Fig. 1. X-ray powder diagram of albite

na krivulu za niskotemperaturne feldspate (J. V. Smith, 1956). U prvom slučaju bi gotovo sav (87%), a u drugom praktički sav aluminij bio u strukturi u tetraedrijskom položaju 1 o.

IR spektar istog uzorka (1a) priložen je kao slika 2. Vrijednosti valnih brojeva i dužine valova za A i B apsorpcijske vrpce kod šest snimljenih uzoraka plagioklasa nalaze se u tabeli 2.

Tabela 2 IR spektri — vrijednosti za tzv. A i B apsorpcijske vrpce
Table 2 IR spectra — wave numbers of A and B absorption bands of plagioclases

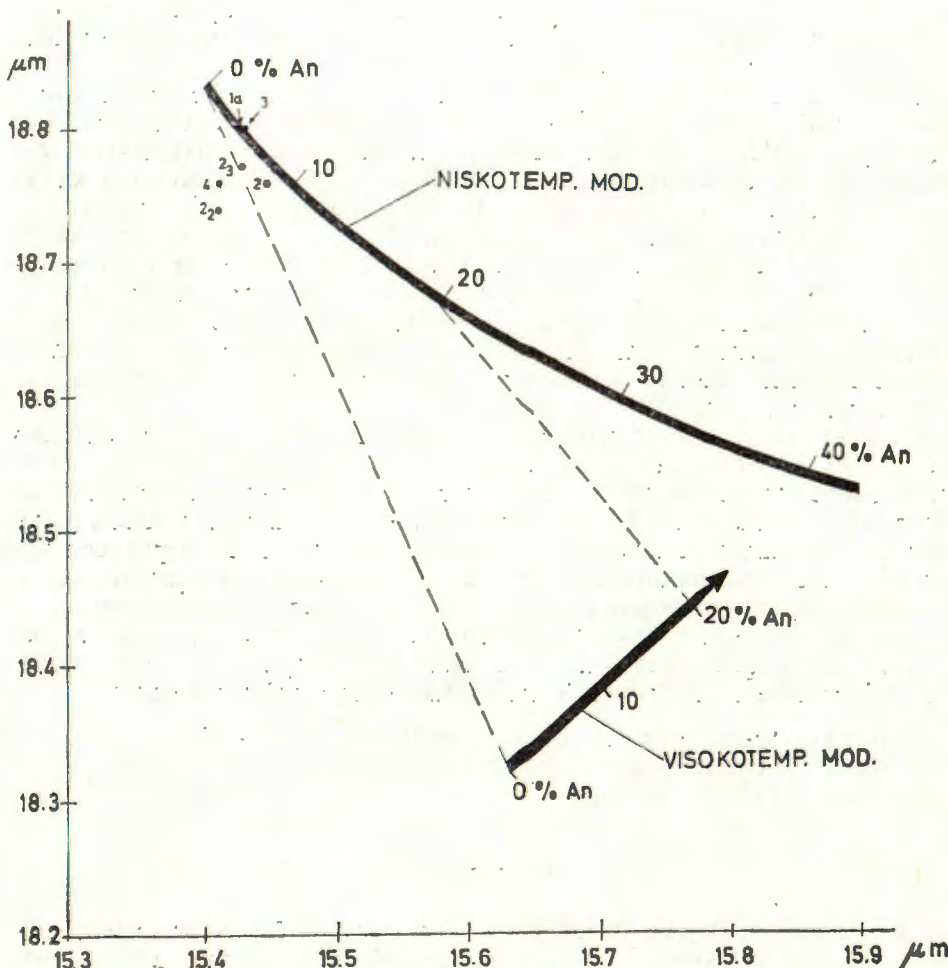
Uzorak Sample	A vrpca A band		B vrpca B band		Δcm^{-1}	$\Delta\mu\text{m}$
	cm^{-1}	μm	cm^{-1}	μm		
1a	648(± 2)	15.43(± 5)	532(± 2)	18.80(± 6)	116	3.37
2	647	15.45	533	18.76	114	3.31
2 _z	649	15.41	533,6	18.74	115	3.33
2 _s	648	15.43	533	18.76	115	3.33
3	648	15.43	532	18.80	116	3.37
4	649	15.41	533	18.76	116	3.35



Slika 2. IR spektar albita
Fig. 2. IR spectrum of albite

Podaci iz tabele 2 unešeni u dijagram Hafnera i Lavesa (1957) gomilaju se na krivulji za niskotemperaturne modifikacije plagioklaza (odstupanja su unutar grešaka mjerjenja) i to u području od 0 do 10% an (slika 3). Iz opisanih detaljnijih istraživanja plagioklaza slijedi da i rentgenski i IR podaci ukazuju na niskotemperaturne albite, pa je prema tome otpala prvobitna neizvjesnost u vezi interpretacije optičkih podataka dobijenih na teodolitu. U prilog činjenici, da su od dvije grupe podataka za % an, dobivenih čitanjem na Nikitinovom dijagranu, realne vrijednosti od 3—8% an govore i zapažanja relativnog određivanja indeksa loma pomoću Beckeove linije, koja pokazuje da su svi indeksi loma niži od indeksa loma kanadskog balzama; prema tome utrusci feldspata u lavama Ivanšćice pripadaju albitima.

Utrusci albita razvijeni su u idiomorfnim i hipidiomorfnim oblicima, rijetko alotriomorfnim. Njihova je građa vrlo nehomogena što se očituje u nejednolikom potamnjenu. Ispunjeni su brojnim uklopцима od kojih svakako najviše pažnje privlače uklopci »stakla« (slike 1 i 2, tabla II). To su nepravilni oblici izraženog indeksa loma, bez analizatora su slabo zelenkasto obojeni (slika 1, tabla II), a među ukrštenim nikolima gotovo stalno tamni (slika 2, tabla II). »Staklo« je mjestimično djelomično ili potpuno devitificiralo (slika 3, tabla II) uglavnom u sitnozrnaste nakupine kalcedona. Od ostalih uklopaka najčešći je hematit, te rjeđe sitna zrna ili sitnozrnaste nakupine prenita ili kalcita. Uzorci lave koji potječu



Slika 3. Podaci iz Tabele 2 (IR spektri) naneseni u dijagram Hafnera i Lavesa
Fig. 3. Data from Table 2 (IR spectra) plotted on the diagram of Hafner and Laves

iz površinskih dijelova slijeva imaju celularne odnosno mandulaste strukture kad se šupljine ispune sekundarnim mineralima. Najčešći mineral koji ispunjava šupljine je kalcit jer je uticaj P_{CO_2} veći u površinskom dijelu, a isto tako uvjetuje veću ili manju kalcitizaciju plagioklasa. Kod većih zrna kalcitizacija je zapažena uz rub (slika 2, tabla III), dok su majni štapići i pladioklasi u osnovi mjestimično potpuno zamijenjeni kalcitom (slika 1; tabla III). U šupljinama su se razvila posve bistra zrna albita zajedno sa sitnim štapićima ili iglicama pumpeliitu slična mineraла (slika 3, tabla III) koji međutim radi male koncentracije nije potpuno rentgenški dokazan. Odlikuje se slabim zelenkastim pleohroizmom i nešto višim dvolomom od coisita, za kojeg je s obzirom na veliku optič-

ku podudarnost u početku i smatran; s druge strane uz optiku i rentgen-ski podaci isključuju i coisit i epidot, pa prema tome preostaje velika vjerojatnost da se radi o pumpeliitu.

Ameboidalne šupljine ispunjene su »stakлом« ili raznim produktima devitrifikacije (slika 1 i 2, tabla IV). Većina šupljina (slika 1, tabla IV) pokazuje određen raspored formiranja minerala kod devitrifikacije. Započinje uz rub stvaranjem sferulitnih ili sitnozrnastih nakupina kalcedona koje sadrže i nakupine hematita. U centralnom dijelu devitrifikacija u nekim šupljinama vodi formiranju klorita ali se u nekim i dalje zadržalo »staklo« koje se ponaša izotropno. Bez uključenog analizatora slabo je zelene boje. Indeks loma gotovo je isti kao kod kalcedona a po nekim karakteristikama približava se palagonitu (?). Manji broj šupljina građen je kako se vidi (slika 2, tabla IV) od klorita sa vrlo uskom zonom kalcedona uz rub šupljine a u centralnom dijelu mjestimično se razvijaju i zrna prenita.

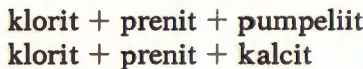
Metamorfoze feromagnezijskih minerala prikazane su nizom snimaka na tabli IV i V. Pirokseni su u lavama iz Šumi potoka kompletno zamjenjeni sekundarnom asocijacijom minerala. O kojim se primarnim vrstama piroksena radi može se donekle zaključiti iz sačuvanih formi i metamorfne parageneze minerala. Jednostavne pločaste forme ispunjene fibroznim i vlaknatim nakupinama optički neodredivim, te kloritom i hematitom upućuju na vjerojatnost da se radilo o rompskim piroksenima.

Druge poliminerale nakupine nepravilna oblika, ispunjene raznirn metamorfnim paragenezama (slike 1 i 2, tabla V), vjerojatno su ostaci rnonoklinskih piroksena. Najtipičnije su slijedeće asocijacije minerala:

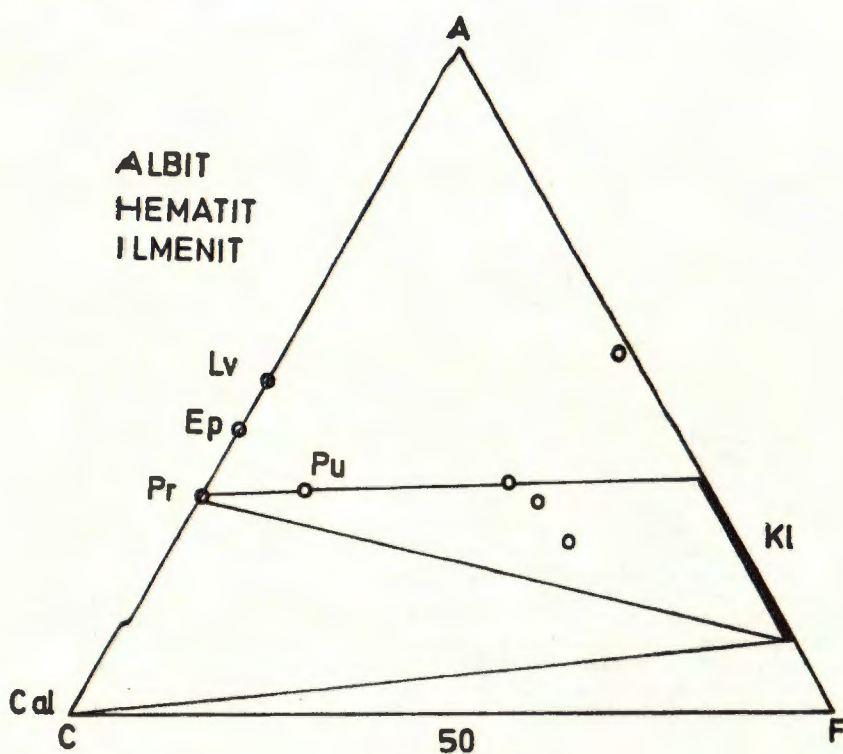
1. klorit + prenit + pumpeliit + hematit (sl. 1, tabla V)
2. klorit + hematit + prenit (sl. 2, tabla V)
3. klorit + kalcit + hematit

DISKUSIJA

Ove vulkanske stijene Ivanšćice F. Tućan (1922) svrstao je u porfirite. One su po svom kemizmu na granici između bazalta i anđezita ukoliko se koristi čisto kemijska klasifikacija na bazi odnosa $\text{SiO}_2 : \text{alk}$ ($\text{K}_2\text{O} + \text{Na}_2\text{O}$) koju predlaže Cox i dr. (1978). Visok sadržaj Na_2O upućuje na albitizaciju koja je uobičajena kod trijaskih vulkanita, međutim, parageneza metamorfnih produkata ne odgovara tipičnoj spiličkoj parageneziji (ab + kl + ep + akt + cal) jer nedostaju epidot i aktinolit. Ako se u ACF dijagram (slika 4) projicira sastav lava korigiran na Fe_2O_3 (hm), FeO (mt i il) i CaO (Cal), onda se s obzirom na kemizam istraživanih stijena mogu očekivati slijedeće parageneze:



Te su parageneze mikroskopiranjem i utvrđene, pa su prema tome stijene metamorfizirane na vrlo niski stupanj metamorfizma (Winkler, 1976) t. j. metamorfna parageneza odgovara prenit-pumpeliitnom faciesu, odnosno prenit-pumpeliit-kloritnoj zoni. Kako napominje Winkler ova tri minerala bez lomontita, vairakita ili lavsonita slab su in-



Slika 4. Projekcije kemijskog sastava lava sa Ivanščice u ACF dijagramu
 Fig. 4. Projections of the chemical composition of lavas of the Ivanščica mauntain
 in the ACF diagram

dikator pritiska i može se jedino zaključiti da je bio ispod 3Kbara. S druge strane pomanjkanje lavsonita ili lomontita može se objasniti prisustvom CO_2 koji i u vrlo malim količinama razara lavsonit i lomontit.

Metamorfne promjene u lavama Ivanščice rezultat su dugotrajnih metamorfnih reakcija koje su se odvijale pod uticajem povišenja temperature i pritiska t. zv. metamorfizma tonjenja.

Primljeno: 6. 5. 1984.

LITERATURA

- Cox, K. G., Bell, J. D. and Pankhurst, R. J., (1978): The interpretation of igneous rocks. George Allen and Unwin. p. 450, London.
 Smith, J. V., (1956): The powder patterns and lattice parameters of plagioclase feldspars. I The soda rich plagioclases. *Mineral mag.* 31, 47–68.
 Hafner, St. & Laves, F. (1958): Ordnung/Unordnung und Ultrarotabsorption. II. Variation der Lage und Intensität einiger Absorption von Feldspäten. Zur Struktur von Orthoklas und Adular. *Z. Kristallogr.*, 109, 204–225.
 Marci, V., Šćavničar, S., Sijarić, G. (1982): Petrografija vulkanskih stijena Ivanščice (sliv potoka Železnice). *Zbornik radova, knj. I.* p. 329–335, Budva. X Jubilarni kongres geologa Jugoslavije.

- Tučan, F. (1922): Starije eruptivno kamenje u sjeverozapadnom dijelu Hrvatske.
Glasnik Hrv. prir. društva 34, 169—184. Zagreb.
- Winkler, H. G. F. (1975): Petrogenesis of metamorphic rocks. Springer-Verlag.
 p. 334, New York.

The new Data about Volcanic Rocks of Ivanščica Mountain

V. Marci, S. Šćavničar and G. Sijarić

This is the review of new data on the volcanic rocks of Ivanščica mauntain obtained by X-Ray and IR technic. Some of them were reported on X Geological Congress in Budva 1982.

A wide variety of metamorphic alteration products occur in volcanic rocks of the Šumi creek. They formed inside the phenocryst of plagioclase or replace completely pyroxene or hornblende. A detail investigation of the paragenesis and mineralogical changes in the rocks was made.

X-Ray and IR technic was used in the investigation of the composition and structural state of albitized feldspars in meta-volcanic rocks. On the basis of the obtained data (Table 1, 8, 2, fig. 1, 2 and 3) we were able to define feldspars as low temperature albite (range 0—10 % an).

The former measurement with U-stage technic on plagioclase crystals resulted with the data of 3—8 or 29—38 % an. Normative plagioclase were also 34 % an, so the volcanic rocks were first determined as andesitic rocks.

Special feature of the volcanic rocks is the presence of rounded or irregular amygdales filled by one or more metamorphic phases. The most common phases are calcedone with haematite and in central part »glas« which resembles by optical characteristics to palagonite (?). Some of amygdales, completely devitrified in the chlorite, sometimes in central part contain prehnite.

Pyroxenes and amphiboles are completely replaced by secondary paragenesis of minerals:

1. chlorite + prehnite + pumpellyite + haematite
2. chlorite + haematite + prehnite
3. chlorite + calcite + haematite

Additional investigation of meta-volcanic rocks of Ivanščica gave as a key mineral association essential for the determination of metamorphic facies.

The presence of very low metamorphic assemblage (Winkler, 1976) and characteristic minerals like prehnite and pumpellyite in volcanic rocks determined prehnite-pumpellyite facies. Lack of lawsonite or laumontite can be explained by influence of high P_{CO_2} (presence of calcite) which decomposed zeolite and lawsonite.

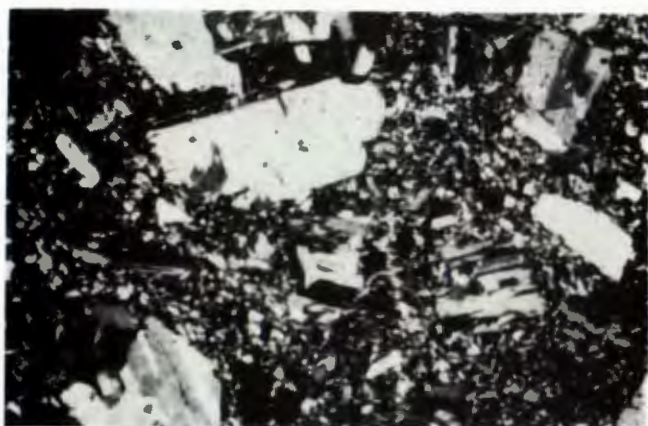
TABLA I — PLATE I

1. Struktura lava sa utruscima albita i ameboidalnim šupljinama. N+
2. Porforna struktura sa holokristaliziranom osnovom. N+
3. Mandulasta struktura površinskih dijelova lava. N+

1. Texture in volcanic rocks with cavities of irregular and arcuate outlines. N+
2. Holocrystalline porfirc texture of volcanic rocks. N+
3. Amygdal texture of lavas. N+

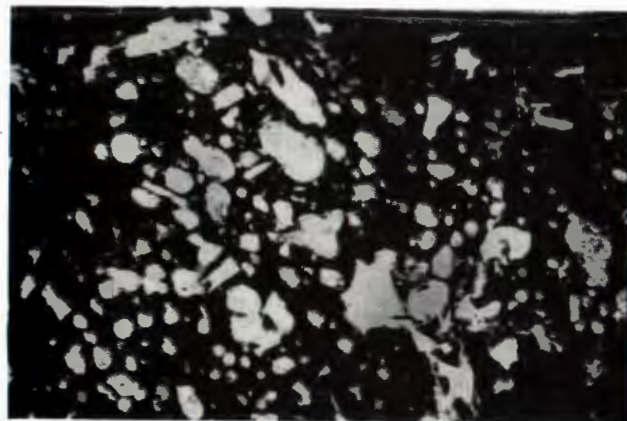


1



2

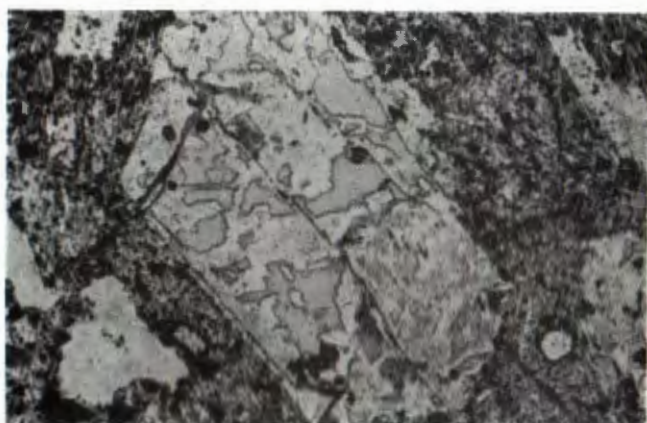
0.1 mm



3

TABLA II — PLATE II

1. Utrusak albita sa uklopcima »stakla« i prenita. N
 2. Ista slika sa krštenim nikolima.
 3. Devitrifikacija »stakla« u kalcedon. N+
1. Phenocryst of albite with »glassy« inclusions. N
 2. The same picture with crossed nicols.
 3. Devitrification of »glassy« inclusion into calcedony. N+



1



2

1.0 mm



3

TABLA III — PLATE III

1. Kalcitizacija plagioklasa u osnovi. N+
 2. Početak kalcitizacije utruska albite uz rub. N+
 3. Rast pumpelita u šupljinama. N
1. Calcitization of albite in groundmass. N+
 2. Calcitization of phenocryst of albite on the rim. N+
 3. Amygdale with pumpellyite. N+

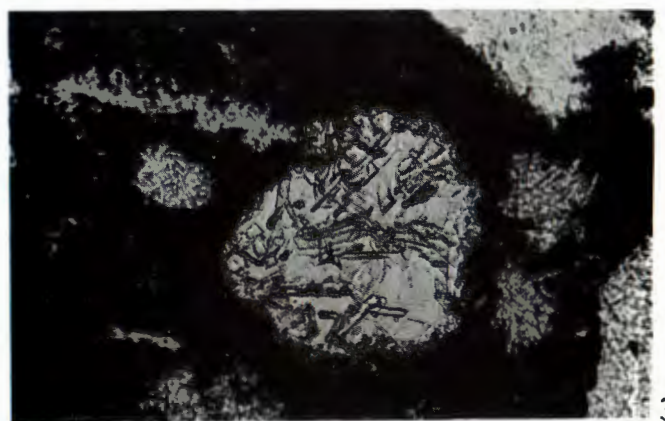
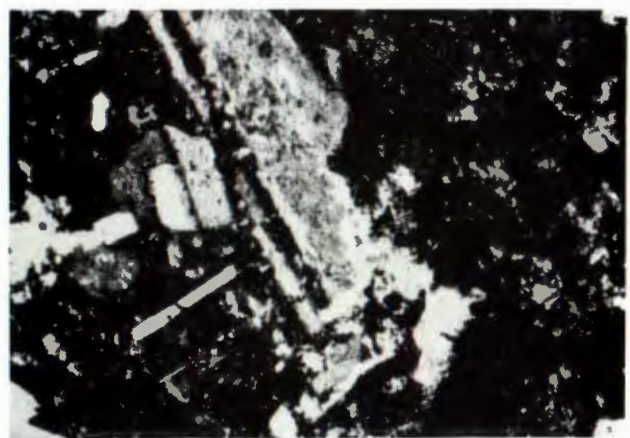
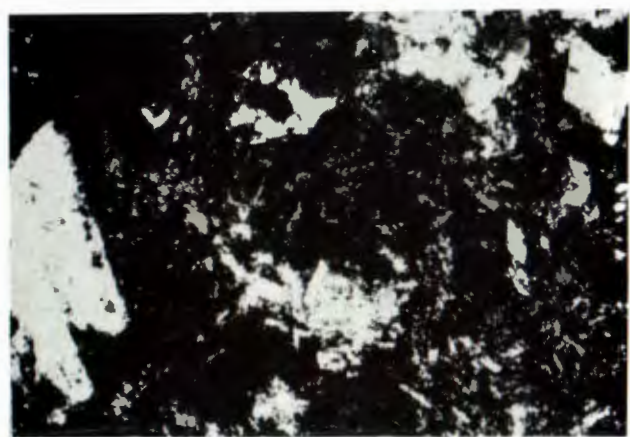


TABLA IV — PLATE IV

1. Detalj ameboidalne šupljine sa počecima devitrifikacije. Uz rub je kalcedon sa hematitom a u središnjem dijelu se sačuvalo »staklo«. N+
 2. U nekim šuplinama devitrifikacija vodi formiranju klorita a mjestimično i prenita. N+
 3. Pločaste forme metamorfoziranih rompskih piroksena (?). N+
1. Detail of the ameboidal cavity. Devitrification begins from the rim with formation of calcedony and haematite, but in central part is preserved »glass«. N+
 2. Sometimes devitrification finishes with formation of chlorite and prehnite. N+
 3. Tabular form of metamorphosed rhombic pyroxene. N+



1



2

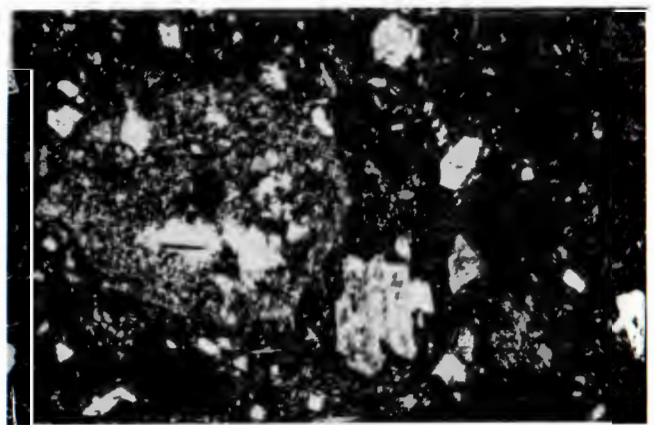


3

[1.0 mm]

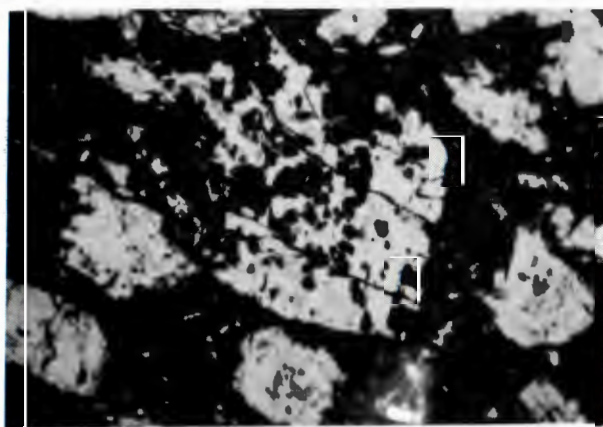
TABLA V — PLATE V

1. Nepravilne forme sa sekundarnim mineralima; ostaci monoklinskih piroksena.
N+
 2. Ostatak monoklinskih piroksena (klorit+prenit+hematit). N
 3. Pravilna forma amfibola ispunjena sekundarnim mineralima (pumpeliit+hematit+albit+klorit). N
1. Irregular forms of the metamorphosed monoclinic pyroxenes with secondary mineral parageneses. N+
 2. Replacement the pyroxenes by chlorite, prehnite and haematite. N
 3. Heksagonal form of the amphibole with secondary assemblages of mineral (pum-pellyite+haematite+albite+chlorite). N



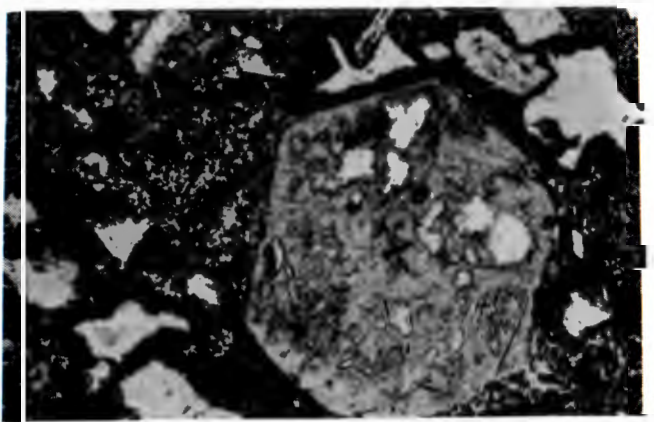
0,1 mm

1



1,0 mm

2



3